

Première partie 1. Signaux analogiques

1. SIZE OF A SIGNAL

1.1. Signal Energy.

$$(1) \quad E_f = \int_{-\infty}^{\infty} |f^2(t)| dt$$

1.2. Signal Power.

$$(2) \quad P_f = \lim_{T \rightarrow \infty} \frac{1}{T} \int_{-T/2}^{T/2} |f^2(t)| dt$$

2. SOME USEFUL SIGNALS

2.1. Unit Step Function $u(t)$.

$$(3) \quad u(t) = \begin{cases} 1 & \text{if } t \geq 0 \\ 0 & \text{else} \end{cases}$$

Permet de rendre un signal causal.

2.2. Unit Impulse Function $\delta(t)$.

$$(4) \quad \delta(t) = \begin{cases} 1 & \text{if } t = 0 \\ 0 & \text{else} \end{cases}$$

$$(5) \quad \int_{-\infty}^{\infty} \delta(t) dt = 1$$

$$(6) \quad \int_{-\infty}^t \delta(t) dt = u(t)$$

2.3. Exponential Function.

$$(7) \quad e^{st} = e^{(\sigma + j\omega)t} = e^{\omega t} (\cos(\omega t) + j \sin(\omega t))$$

- $s = 0 : e^{0t} = 1$: constant
- $s = \sigma \in \mathbb{R} : e^{\sigma t}$: monotonic exponential
- $s = j\omega : e^{j\omega t}$: pure sinusoid
- $s = \sigma + j\omega : e^{(\sigma + j\omega)t}$: voring sinusoid

2.4. Dilatation et translations de signaux.

- Décalage : $f(t - t_0)$ est équivalent à $f(t)$ décalé de t_0 vers la **droite**, le signal est en **retard**.
- Dilatation : $f(at)$, le signal $f(t)$ est dilaté (shrunk) de a , si $a > 0$ sinon le signal est "expanded".
- Amplitude : $af(t)$.

Résumé : $af(b(t - t_0))$, est équivalent au signal $f(t)$ décalé de t_0 (vers la droite), dilaté de b , et avec amplitude modulée de a .

3. CONVOLUTION

$$(8) \quad (f * g)(t) \stackrel{\text{def}}{=} \int_{-\infty}^{\infty} f(\tau) g(t - \tau) d\tau$$

3.1. Propriétés de la convolution.

- Commutativité

$$(9) \quad (f * g)(t) = (g * f)(t)$$

- Distributivité

$$(10) \quad (af(t) + bg(t)) * h(t) = a(f * h)(t) + b(g * h)(t)$$

- Associativité

$$(11) \quad (f * g) * h = f * (g * h)$$

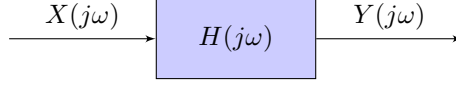


FIGURE 1. Typical representation of a system where $Y(j\omega) = H(j\omega)X(j\omega)$

4. SYSTÈMES LIT

LIT : Linéaire, invariant dans le temps
Linéaire, invariant par translation

4.1. Notation opérateur.

$$(12) \quad y(t) = S_a\{x(t)\} \equiv y = S_a\{x\}$$

4.2. Caractérisation d'un système LIT. Réponse impulsionnelle : $h(t) = S_a\{\delta(t)\}$

Système LIT : $h(t, \tau) = h(t - \tau)$

$$(13) \quad y(t) = (h * x)(t)$$

4.3. Exemples.

– Amplificateur

$$(14) \quad a \cdot I\{f(t)\} = a \cdot f(t) \Rightarrow h(t) = a \cdot I\{\delta(t)\} = a\delta(t)$$

– Retard

$$(15) \quad S_{t_0}\{f(t)\} = f(t - t_0) \Rightarrow h(t) = S_{t_0}\{\delta(t)\} = \delta(t - t_0)$$

– Dérivateur

$$(16) \quad D\{f(t)\} = \frac{d}{dt}f(t) = f'(t) \Rightarrow h(t) = \frac{d}{dt}\delta(t) = \delta'(t)$$

– Intégrateur

$$(17) \quad D^{-1}\{f(t)\} = \int_{-\infty}^t f(\tau)d\tau = F(t) \Rightarrow h(t) = \int_{-\infty}^t \delta(\tau)d\tau = u(t)$$

5. SYSTÈMES RÉGIS PAR DES ÉQUATIONS DIFFÉRENTIELLES

Un système LIT peut être décrit par des équations différentielles, et en utilisant la notation "opérateur" écrit comme suit

$$(18) \quad \frac{d}{dt^n}y(t) + a_{n-1}\frac{d}{dt^{n-1}}y(t) + \dots + a_1\frac{d}{dt}y(t) + a_0y(t) = b_m\frac{d}{dt^m}x(t) + \dots + b_1\frac{d}{dt}x(t) + b_0x(t)$$

$$(19) \quad D^n\{y(t)\} + a_{n-1}D^{n-1}\{y(t)\} + \dots + a_1D\{y(t)\} + a_0y(t) = b_mD^m\{x(t)\} + \dots + b_1D\{x(t)\} + b_0x(t)$$

$$(20) \quad Q(D)\{y(t)\} = P(D)\{x(t)\}$$

$x(t)$: input

$y(t)$: output

Contraintes physiques : $n \geq m$ Polynôme caractéristique :

$$(21) \quad Q(s) = s^n + a_{n-1}s^{n-1} + \dots + a_1s + a_0 = \prod_{i=1}^n (s - s_i)$$

Solution générale :

$$(22) \quad y_0(t) = \sum_{i=1}^n c_i e^{s_i t}$$

5.1. Fonction de Green. La fonction de Green est

$$(23) \quad \varphi(t) = Q^{-1}(D)\{\delta(t)\}$$

de là on obtient l'égalité suivante

$$(24) \quad h(t) = P(D)\{Q^{-1}(D)\{\delta(t)\}\} = P(D)\{\varphi(t)\}$$

5.2. Résolution d'équation différentielle.

- (1) Solution de l'équation homogène : combinaison linéaire de modes propres : $y_0(t) = \sum_{i=1}^n c_i e^{s_i t}$
- (2) Solution particulière : on convolue la réponse impulsionnelle du système : $h(t) * x(t)$
- (3) Solution de l'équation : $y(t) = \sum_{i=1}^n c_i e^{s_i t} + h(t) * x(t)$ où les c_i peuvent être déterminés à l'aide des conditions initiales.

5.3. Stabilité BIBO.

$$(25) \quad |x(t)| \leq M_x < +\infty \Rightarrow |y(t)| \leq M_y < +\infty$$

Un système est stable BIBO si, et seulement si

$$(26) \quad \int_{-\infty}^{\infty} |h(\tau)| d\tau < +\infty$$

Tous les racines dans le demi-plan gauche. (pôle à gauche)

5.4. Resonance.

6. VECTEURS ET SIGNAUX

Energie d'un signal est "équivalente" à une norme

Espace vectoriel des signaux :

$$(27) \quad L_2([t_1, t_2]) = \left\{ f(t) : t \in [t_1, t_2] \& \int_{t_1}^{t_2} |f^2(t)| dt < +\infty \right\}$$

6.1. Produit scalaire.

$$(28) \quad \langle f, g \rangle = \frac{1}{T} \int_0^T f(t) g^*(t) dt$$

Meilleure approximation de $f(t)$ par $\phi(t)$.

Erreur quadratique :

$$(29) \quad \|e(t)\|_{L_2}^2 = \langle e, e \rangle = \int_{t_1}^{t_2} (f(t) - c\phi(t))^2 dt = \langle f, f \rangle + c^2 \langle \phi, \phi \rangle - 2c \langle f, \phi \rangle$$

Minimisation :

$$(30) \quad \frac{\partial \langle e, e \rangle}{\partial c} = 0 \Rightarrow \hat{c} = \frac{\langle f, \phi \rangle}{\langle \phi, \phi \rangle}$$

6.2. Théorème de Pythagore.

$$(31) \quad \|x\|^2 = \|x - g\|^2 + \|g\|^2$$

6.3. Approximation moindres carrés.

$$(32) \quad x_n = \sum_{i=1}^n \langle x, \phi_i \rangle \phi_i$$

6.4. Corrélation et similarité. Intercorrélation :

$$(33) \quad c_{xy}(t) = (x(-\cdot) * y^*(\cdot))(t)$$

7. SÉRIE DE FOURIER

Pulsion fondamentale : $\omega_0 = \frac{2\pi}{T}$

$$(34) \quad x(t) = \sum_{n \in \mathbb{Z}} c_n e^{jn\omega_0 t} \quad c_n = \langle x, \phi_n \rangle = \frac{1}{T} \int_{-T/2}^{T/2} x(t) e^{-jn\omega_0 t} dt$$

Parseval

$$(35) \quad \|x\|^2 = \frac{1}{T} \int_{-T/2}^{T/2} |x(t)|^2 dt = \sum_{n \in \mathbb{Z}} |c_n|^2$$

8. FOURIER TRANSFORM

Notation : $w_n = n \frac{2\pi}{T_0}$

$$(36) \quad X(\omega) = \int_{-\infty}^{\infty} x(t) e^{-j\omega t} dt = \mathcal{F}\{x\}(\omega) \in \mathbb{C}$$

$$(37) \quad x(t) = \int_{-\infty}^{\infty} x(t) e^{-j\omega t} dt = \mathcal{F}^{-1}\{x\}(t)$$

$$(38) \quad X(\omega)|_{\omega=0} = X(0) = \int_{-\infty}^{\infty} x(t) dt$$

Coefficients de la série de Fourier :

$$(39) \quad c_n = \frac{2\pi}{\omega_0} X_g(\omega)|_{\omega=n\omega_0}$$

9. DÉCOMPOSITION EN FRACTIONS SIMPLES

On a le théorème suivant :

Theorem 1. *Toute fraction rationnelle peut se décomposer de manière unique comme une somme de fractions simples à coefficients complexes et d'un polynôme :*

$$(40) \quad F(X) = \frac{P(X)}{Q(X)} = \sum_{i=1}^n \sum_{j=1}^{m_i} \frac{a_{i,j}}{(X - X_i)^j} + R(X)$$

où l'on a défini ($N = \text{Deg}(P)$, $M = \text{Deg}(Q)$) :

- X_i sont les racines distinctes du dénominateur $Q(X)$
- m_i sont les multiplicités de chaque racine X_i
- $R(X)$ est un polynôme de degré $N - M$ si $N \geq M$ et sinon $R(X) = 0$.

Marche à suivre :

- (1) Si $\text{Deg}(P) \geq \text{Deg}(Q)$, on effectue une division euclidienne afin de se ramener à la forme

$$(41) \quad F(X) = \frac{P(X)}{Q(X)} = R(X) + \frac{S(X)}{Q(X)}$$

- (2) Poser

$$(42) \quad \frac{S(X)}{Q(X)} = \sum_{i=1}^n \sum_{j=1}^{m_i} \frac{a_{i,j}}{(X - X_i)^j}$$

- (3) Mettre au même dénominateur

$$S(X) = Q(X) \sum_{i=1}^n \sum_{j=1}^{m_i} \frac{a_{i,j}}{(X - X_i)^j}$$

- (4) Résoudre pour trouver les $a_{i,j}$, puis réécrire l'équation avec les coefficients trouvés.

Example 1. *Décomposer en éléments simples*

$$H(X) = \frac{X^3 + 1}{(X - 1)^2(X + 2)}$$

- Après la division euclidienne on trouve

$$H(X) = \overbrace{1}^{R(X)} + \frac{\overbrace{3X - 1}^{S(X)}}{\underbrace{(X - 1)^2(X + 2)}_{Q(X)}}$$

– On pose

$$\frac{3X-1}{(X-1)^2(X+2)} = \frac{A}{(X-1)^2} + \frac{B}{(X-1)} + \frac{C}{(X+2)} \quad \left| \cdot (X-1)^2(X+2) \right.$$

$$\Rightarrow 3X-1 = A(X+2) + B(X-1)(X+2) + C(X-1)^2$$

– Après résolution on trouve

$$\begin{cases} A = \frac{2}{3} \\ B = \frac{7}{9} \\ C = -\frac{7}{9} \end{cases}$$

et donc

$$H(X) = \frac{X^3+1}{(X-1)^2(X+2)} = 1 + \frac{2}{3} \frac{1}{(X-1)^2} + \frac{7}{9} \frac{1}{(X-1)} - \frac{7}{9} \frac{1}{(X+2)}$$

Si H était une réponse impulsionnelle dans le domaine fréquentiel, on peut trouver la réponse dans le domaine temporel en appliquant la transformée de Fourier inverse.

$$h(t) = \mathcal{F}^{-1}\{H(j\omega)\}(t) = \delta(t) + u(t) \left[\frac{7}{9}e^t - \frac{7}{9}e^{-2t} + \frac{2}{3} \frac{t}{2} e^t \right].$$

$$(43) \quad \text{sinc}(x) = \frac{\sin(\pi x)}{\pi x}$$

9.1. β -spline.

$$(44) \quad \beta^0(t) = \text{rect}(t)$$

$$(45) \quad \beta^n(t) = (\beta^{n-1} * \beta^0)$$

$$(46) \quad \beta^n(t) \xrightarrow{\mathcal{F}} \text{sinc}\left(\frac{\omega}{2\pi}\right)^{n+1}$$

9.2. Relation de Parseval.

$$(47) \quad \langle f(x), g^*(x) \rangle = \frac{1}{2\pi} \langle F(\omega), G^*(\omega) \rangle = \sum_{k \in \mathbb{Z}} c_k d_k^*$$

10. ECHANTILLONNAGE

$$(48) \quad x_e(t) = x(t) \sum_{n \in \mathbb{Z}} \delta(t - nT_e) = \sum_{n \in \mathbb{Z}} x(nT_e) \delta(t - nT_e)$$

$$(49) \quad X_e(\omega) = \int_{-\infty}^{\infty} \sum_{n \in \mathbb{Z}} x(nT_e) \delta(t - nT_e) e^{j\omega t} dt = \sum_{n \in \mathbb{Z}} x(nT_e) e^{-j\omega nT_e} = \frac{1}{T_e} \sum_{n \in \mathbb{Z}} \delta\left(\omega - n \frac{2\pi}{T_e}\right)$$

10.1. Formule de Poisson.

$$(50) \quad \sum_{k \in \mathbb{Z}} f(t) = \sum_{n \in \mathbb{Z}} F(2\pi n) \quad \sum_{n \in \mathbb{Z}} \delta(t + kT) = \frac{1}{T} \sum_{n \in \mathbb{Z}} e^{jn\omega_0 t}$$

Theorem 2. Théorème d'échantillonnage - Shannon $x(t)$ avec ω_{max} peut-être parfaitement retrouvée si

$$(51) \quad \omega_e \geq 2\omega_{max}$$

NB en pratique le signal est filtré pour avoir une largeur de bande B , bien définie.

10.2. Formule de reconstruction de Shannon. Reconstruction par filtrage idéal

$$(52) \quad h(t) = \text{sinc}\left(\frac{t}{T_e}\right) = \mathcal{F}^{-1} \left\{ T_e \text{rect}\left(\frac{\omega}{2\pi/T_e}\right) \right\}$$

11. APPLICATIONS AUX COMMUNICATIONS

11.1. Largeur de bande essentielle.

$$(53) \quad B_{ess} = \frac{1}{2\pi} \int_{-B}^B |X(\omega)|^2 d\omega = \alpha \cdot E_{tot} \quad \alpha = 0.95$$

11.2. Modulation d'amplitude (AM).

$$(54) \quad x_{AM}(t) = x(t)A_p \cos \omega_p t = x(t)p(t) \xrightarrow{\mathcal{F}} \frac{1}{2\pi} X(\omega) * P(\omega)$$

11.3. Demodulation synchrone. multiplier x_{AM} avec $p'(t) = 2 \cos \omega_p t = 1 + \cos 2\omega_p t$, puis filtre passe-bas.

12. ANALYSE ET SYNTHÈSE DES FILTRES ANALOGIQUES**12.1. Filtre passe-tout.**

$$(55) \quad s_{0k} = -s_{pk}^*$$

$$(56) \quad H(\omega) = \frac{j\omega - d}{j\omega + d}$$

Deuxième partie 2. Signaux numériques

13. SIGNAUX ET SYSTÈMES DISCRETS

13.1. Signaux types.

13.1.1. Impulsion discrète.

$$(57) \quad \delta[n] = \begin{cases} 1 & n = 0 \\ 0 & \text{sinon} \end{cases}$$

13.1.2. Saut unité discret.

$$(58) \quad \delta[n] = \begin{cases} 1 & n \geq 0 \\ 0 & \text{sinon} \end{cases}$$

13.1.3. Polynôme causal discret discret.

$$(59) \quad S_+^N[n] = \begin{cases} \frac{(n+1)(n+2)\dots(n+N)}{N!} & n \geq 0 \\ 0 & \text{sinon} \end{cases}$$

13.1.4. Fonction exponentielle causale discrète.

$$(60) \quad a_+[n] = a^n \cdot u[n]$$

13.1.5. Signaux périodiques.

$$(61) \quad f[n + N] = f[n] \quad \forall n$$

13.1.6. Représentation canonique.

$$(62) \quad f[n] = \sum_{k \in \mathbb{Z}} f[k] \delta[k - n]$$

13.2. Quelques Opérateurs.

- (1) Décalage : $f[n] \rightarrow Zf[n] = f[n - 1]$
- (2) Sous-échantillonnage : $f[n] \rightarrow (M \downarrow)f[n] = f[Mn]$
- (3) Sur-échantillonnage : $f[n] \rightarrow (M \uparrow)f[n] = f[n/M]$

13.3. Systèmes linéaires discrets.

13.3.1. Convolution discrète.

$$(63) \quad (f * g)[n] = \sum_{k \in \mathbb{Z}} f[n - k]g[k]$$

13.3.2. FIR - Finite Impulse Response.

$$(64) \quad \forall n \notin [n_0, n_1], \quad h[n] = 0$$

ou

$$(65) \quad H(z) = z^{-n_0} P(z^{-1}) \quad \text{où } P(X) \text{ est un polynôme}$$

13.3.3. BIBO - Bounded Input Bounded Output.

$$(66) \quad \sum_{k \in \mathbb{Z}} |h[k]| < +\infty$$

13.4. Transformée en Z.

$$(67) \quad H(z) = \sum_{n \in \mathbb{Z}} f[n] z^{-n}$$

13.4.1. Relation avec Taylor.

$$(68) \quad f[n + n_0] = \frac{1}{n!} \cdot \frac{d^n}{dz^n} (z^{-n_0} F(z^{-1})) \Big|_{z=0}$$

14. ANALYSE TEMPORELLE DES SIGNAUX DISCRETS

14.0.2. *Pôles et zéros.*

(1) z_0 est un **Zéro** $\Leftrightarrow H(z_0) = 0$, **zéro multiple d'ordre N** $\Leftrightarrow \frac{d^n H}{dz^n}(z_0) = 0$ pour $n = 0, 1, \dots, N-1$

(2) z_0 est un **Pôle** $\Leftrightarrow \frac{1}{H(z_0)} = 0$, **pôle multiple d'ordre N** $\Leftrightarrow \frac{d^n (1/H)}{dz^n}(z_0) = 0$ pour $n = 0, 1, \dots, N-1$

14.0.3. *Causalité et stabilité.*

- (1) Causal ssi la zone de convergence est à l'extérieur des pôles
- (2) Anti-causal ssi la zone de convergence est à l'intérieur des pôles
- (3) Stable ssi le cercle unité est inclus dans la zone de convergence

14.0.4. *Filtres réels.*

$$(69) \quad H(z)^* = H(z^*)$$

14.1. **Equations aux différences.** Forme générale :

$$(70) \quad (a * g)[n] = (b * f)[n]$$

où f est l'input, g l'output.

14.1.1. *Polynôme caractéristique.*

$$(71) \quad A(z) = a_N z^{-N} + a_{N-1} z^{-N+1} + \dots + a_0 = a_0 \prod_{k=1}^N (1 - r_k z^{-1})$$

où r_k sont les racines du polynômes caractéristiques.

14.1.2. *Solution générale de l'équation homogène g .*

$$(72) \quad g_{\text{homogène}}[n] = \sum_{k=1}^N c_k r_k^n$$

où c_k sont des constantes à déterminer par des conditions.

14.1.3. *Fonction de Green γ .*

$$(73) \quad (a * \gamma)[n] = \delta[n]$$

$$(74) \quad \gamma[n] = \frac{1}{a_0} ((r_1)_+ * (r_2)_+ \dots (r_N)_+ *) [n]$$

14.1.4. *Fonction de transfert h .*

$$(75) \quad y[n] = (h * x)[n]$$

$$(76) \quad h[n] = (\gamma * b)[n]$$

14.1.5. *Solution générale.*

$$(77) \quad g[n] = \underbrace{(h * f)[n]}_{g_{\text{homogène}}[n]} + \underbrace{\sum_{k=1}^N c_k r_k^n}_{g_{\text{particulière}}[n]}$$

14.1.6. *Résolution par la transformée en Z , $H(z)$.*

- (1) $H(z) = \frac{B(z)}{A(z)}$
- (2) Décomposition en fractions simples
- (3) A l'aide des tables, transformée inverse